

PACS numbers: 61.05.cp, 61.72.Ff, 61.72.Hh, 64.75.Op, 81.05.Bx, 81.40.Cd, 81.40.Lm

Вплив мікролегування Титаном на структуроутворення та механічні властивості криць

Н. Ю. Філоненко^{*,**}, О. І. Бабаченко^{*}, Г. А. Кононенко^{*}, О. М. Галдіна^{**}

^{*}*Інститут чорної металургії ім. З. І. Некрасова НАН України,
пл. Академіка Стародубова, 1,
49107 Дніпро, Україна*

^{**}*Дніпровський державний медичний університет,
вул. Володимира Вернадського, 9,
49044 Дніпро, Україна*

Наразі у зв'язку з розвитком промисловості є потреба в одержанні виробів із криці, які використовують за великого навантаження. Як відомо, для одержання криць з підвищеним комплексом механічних, службових та експлуатаційних властивостей використовують найбільш поширені підходи: регулюють вміст Карбону, визначають оптимальний вміст базових елементів, режими термічного оброблення та мікролегування. Метою роботи є дослідження особливостей мікроструктури, структурних складових, мікросегрегації під час мікролегування Титаном криць з підвищеним вмістом Карбону у 0,70–0,76% мас. Досліджувалися зразки після лиття та після гарячої деформації з наступним термічним обробленням. Застосовували металографічну аналізу, визначення механічних властивостей, хемічну і рентгеноструктурну аналізу. Дослідження, що були проведені в даній роботі, показали, що мікролегування криці Титаном сприяє зменшенню розмірів зерна та дефектності структури, приводить до зменшення розмірів дендритів твердого розчину γ -заліза, міждендритної віддалі у порівнянні з крицею без мікролегування. Крім цього, пока-

Corresponding author: Nataliya Yuriyivna Filonenko
E-mail: natph2016@gmail.com

^{*}*Z. I. Nekrasov Iron and Steel Institute, NAS of Ukraine,
1 Academician Starodubov Sqr., UA-49050 Dnipro, Ukraine*

^{**}*Dnipro State Medical University,
9 Volodymyr Vernadsky Str., UA-49044 Dnipro, Ukraine*

Citation: N. Yu. Filonenko, O. I. Babachenko, H. A. Kononenko, and O. M. Haldina, The Effect of Titanium Microalloying on the Structure Formation and Mechanical Properties of Steels, *Metallofiz. Noveishie Tekhnol.*, **46**, No. 11: 1085–1093 (2024) (in Ukrainian). DOI: [10.15407/mfint.46.11.1085](https://doi.org/10.15407/mfint.46.11.1085)

зано, що використання такого мікролегування приводить до збільшення кількості видів утворених фаз. За результатами рентгеноструктурної аналізи було виявлено додатково фази $MnSi$, $Fe_{0,4}Mn_{3,6}C$, $FeSiC$ та TiC у порівнянні з крицею без мікролегування Титаном. Одержаний результат уможливило зробити висновок про те, що Титан зменшує розчинність Карбону, Мангану та Силіцію в структурних складових. Після повного циклу оброблення криці, мікролеговані Титаном, мали підвищений комплекс механічних властивостей (підвищення границі міцності та границі плинності на $\cong 10\%$ у порівнянні з крицею без мікролегування Титаном).

Ключові слова: мікролегування Титаном, криця, мікроструктура, деформаційне та термічне оброблення, механічні властивості.

Currently, in the view of industrial development, there is a need to obtain steel products designed for heavy loads. As known, the most common approaches are used to obtain steels with an advanced set of mechanical, service, and operational properties: regulating the carbon content, determining the rational content of basic elements, heat-treatment and microalloying regimes. The purpose of the paper is to study the features of the microstructure, structural components, and microsegregation during titanium microalloying of steels with an increased carbon content of 0.70–0.76% wt. Samples are studied after casting and hot deformation with subsequent heat treatment. Metallographic analysis, mechanical test, chemical analysis, x-ray diffraction method are used. The studies carried out in this work show that the microalloying of steel with titanium contributes to the reduction of grain sizes and structure imperfection, leads to a decrease in the size of dendrites of γ -iron solid solution and the interdendritic distance, compared to steel without microalloying. In addition, it is shown that the use of such microalloying leads to an increase in the number of types of the phases formed. According to the results of x-ray diffraction analysis, the following phases are additionally detected: $MnSi$, $Fe_{0,4}Mn_{3,6}C$, $FeSiC$ and TiC , in comparison with steel without titanium microalloying. The obtained result enables to conclude that titanium reduces the solubility of carbon, manganese, and silicon in structural components. After a full circle processing, steels microalloyed with titanium have an improved set of mechanical properties (increase in strength limit and yield stress by $\cong 10\%$, compared to steel without titanium microalloying).

Key words: microalloying with titanium, steel, microstructure, deformation and heat treatment, mechanical properties.

(Отримано 28 травня 2024 р.; остаточн. варіант — 9 липня 2024 р.)

1. ВСТУП

Сучасні потреби використання металевих виробів у промисловості в умовах підвищеного навантаження потребують одержання криць з поліпшеним комплексом механічних, експлуатаційних і службових властивостей. Одним із підходів до вирішення цього питання є вибір оптимального вмісту базових хемічних елементів, мікролегу-

вання та термічне оброблення.

Відомо, що мікролегуванням можна впливати на розмір зерна, сприяти збільшенню кількості нанорозмірних виділень, що може значно підвищити показники міцності та вплинути на пластичність і в'язкість криці [1]. Як відомо, мікролегування Титаном сприяє утворенню включень TiC, TiN і TiC(N) за високих температур. Завдяки високій температурі топлення, високій твердості частинки TiC(N) широко використовуються для поліпшення механічних властивостей матеріалів за рахунок дисперсійного зміцнення; але можливе неконтрольоване утворення вторинних фаз [2, 3]. Термічним обробленням криць можна контролювати морфологію, розміри та розподіл включень на різних стадіях виробництва [4]. Було виявлено, що мікролегування криці Ti приводить до подрібнення зерна та збільшення кількості перліту. На думку авторів [5], подрібнення зерен фериту середньовуглецевої криці відбувається за рахунок утворення нітридів і карбідів Титану через зменшення розчинності Титану в аустеніті з пониженням температури [2, 5]. Титан має значний позитивний вплив на твердість, міцність та ударну в'язкість і приводить до пониження температури ліквідусу та збільшення температури утворення аустеніту [2, 5, 6]. Таким чином, одним із важливих питань за мікролегування Титаном криці є контроль утворення кількості, форми, розміру та розподілу фаз, що впливає на механічні властивості криць.

Відомо, що легування криць Силіцієм може значно збільшити міцність, покращити ударну в'язкість, а при легуванні Манганом збільшується міцність криць [7].

Таким чином, мікролегування Ti може бути широко застосоване для виробництва високоміцної криці з підвищеним комплексом механічних властивостей для різних металевих виробів.

Метою роботи є дослідження особливостей мікроструктури, утворення структурних складових, механічних властивостей за мікролегування Титаном криць з підвищеним вмістом Карбону (0,70–0,76% мас.).

2. МАТЕРІЯЛИ ТА МЕТОДИКА ДОСЛІДЖЕНЬ

В даній роботі проводили дослідження криць (табл. 1).

Дослідні криці були витоплені з застосуванням топильного агрегату ІТПЕ-0,01 з високочастотним джерелом струму ВТГ-20-22. Гаряче пластичне деформування (ГПД) проб криць проводили після нагрівання до температури $1260 \pm 10^\circ\text{C}$ і витримки протягом 2 годин зі ступенем деформації $u \cong 50\%$ та охолодженням на спокійному повітрі до кімнатної температури. З деформованих виливків вирізали заготовки зразків розміром у $10 \times 10 \times 20 \text{ см}^3$ та виконували термічне оброблення (ТО): нагрів до температури у $900 \pm 10^\circ\text{C}$ й охо-

ТАБЛИЦЯ 1. Хемічний склад дослідних криць, % мас.**TABLE 1.** Chemical composition of experimental steels, % wt.

Маркування	C	Si	Mn	P	S	Mo	Ni	Al	Ti	V
Криця № 1	0,71	0,36	0,82	0,013	0,009	0,014	0,21	0,012	<0,060	0,055
Криця № 2	0,72	0,33	0,85	0,010	0,005	0,010	0,15	0,016	0,013	0,09

лодження зі швидкістю у $2,5^{\circ}\text{C}/\text{с}$. Після охолодження проводили відпуск за температури у $300 \pm 10^{\circ}\text{C}$ тривалістю в 1 годину.

Металографічні шліфи криць виготовляли за стандартними методиками, шавлення поверхні зразків здійснювали гарячим розчином пікрату Натрію (для визначення ділянок із сегрегацією Силіцію та Мангану, які формуються під час кристалізації та розташовані у міждендритних просторах) і ніталом. Для визначення хемічного складу криць використовували фотоелектричну спектральну аналізу. Дослідження міжпластинної віддалі виконували на растровому електронному мікроскопі РЕМ-106 та за допомогою оптичних мікроскопів виробництва компанії «Carl Zeiss» «Neophot-32» і «Axiovert 200 M MAT». Механічні випробування зразків криць проводили із застосуванням машини на розрив типу TTDL «Instron». Рентгеноструктурну аналізу здійснювали на дифрактометрі ДРОН-3 у монохроматизованому FeK_{α} -випромінненні.

3. РЕЗУЛЬТАТИ ДОСЛІДЖЕНЬ

Мікроструктура криці № 1 в литому стані мала перлітну структуру (рис. 1, а). За результатами рентгеноструктурної аналізу було виявлено фази $\alpha\text{-Fe}$, $\text{Fe}_{2,7}\text{Mn}_{0,3}\text{C}$, FeSiC , MnSi , Mn_7C_3 й оксиди MnO , Al_2O_3 в невеликій кількості (рис. 1, б).

Мікроструктура криці № 2 має менший розмір перлітних колоній і більшу кількість видів фаз $\alpha\text{-Fe}$, MnSi , карбідів $\text{Fe}_{2,7}\text{Mn}_{0,3}\text{C}$, $\text{Fe}_{0,4}\text{Mn}_{3,6}\text{C}$, FeSiC , Mn_7C_3 , TiC й оксидів MnO , Al_2O_3 у порівнянні з крицею № 1 (рис. 2).

Таким чином, за порівняння результатів рентгеноструктурної аналізу криць № 1 і № 2 видно, що мікролегування криць Титаном приводить до збільшення кількості включень карбідів, що узгоджується з результатами, наведеними в роботі [8]. Одержаний результат можна пояснити тим, що мікролегування криці № 2 Титаном і Нітрогеном викликає зменшення розчинності Силіцію, Мангану та Карбону в структурних складових [4, 9].

Окрім цього, розчинність Карбону, Мангану та Силіцію буде меншою у порівнянні з розчинністю в бінарних і тернарних системах цих елементів [10].

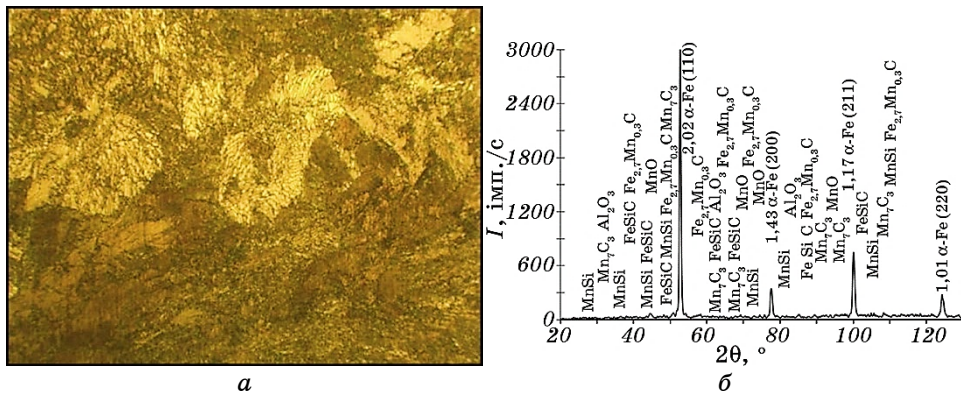


Рис. 1. Мікроструктура зливка, $\times 1000$ (a); дифрактограма (б) криці № 1.
 Fig. 1. Microstructure of the ingot, $\times 1000$ (a); diffractogram (b) of steel No. 1.

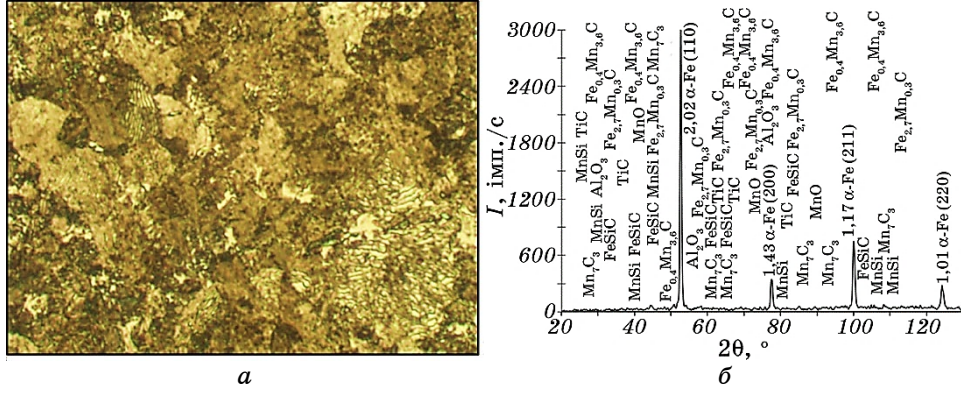


Рис. 2. Мікроструктура зливка, $\times 1000$ (a); дифрактограма (б) криці № 2.
 Fig. 2. Microstructure of the ingot, $\times 1000$ (a); diffractogram (b) of steel No. 2.

Дослідження впливу мікролегування Титаном на мікроструктуру показали, що відбувається утворення перліту з меншою середньою віддаллю між пластинами у порівнянні з крицею № 1 (рис. 3). Для криці № 1 середня віддаль між пластинами була у 0,23 мкм, а криці № 2 — 0,201 мкм, що узгоджується з результатами, наведеними в роботі [11].

Дослідження дендритів твердого розчину γ -заліза за місцями сегрегації елементів, що формуються під час кристалізації, після щавлення поверхні зразків гарячим розчином пікрату Натрію показали, що криця № 1 містить дендрити більшого розміру (середній розмір дендритів — 8–20 мкм), у порівнянні з крицею № 2 (середній

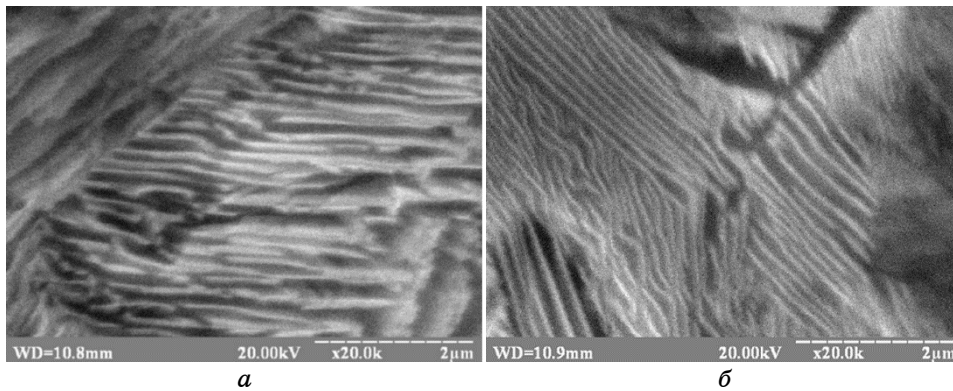


Рис. 3. Мікроструктура криць: № 1 (а), № 2 (б).
Fig. 3. Microstructure of steels: No. 1 (a), No. 2 (б).

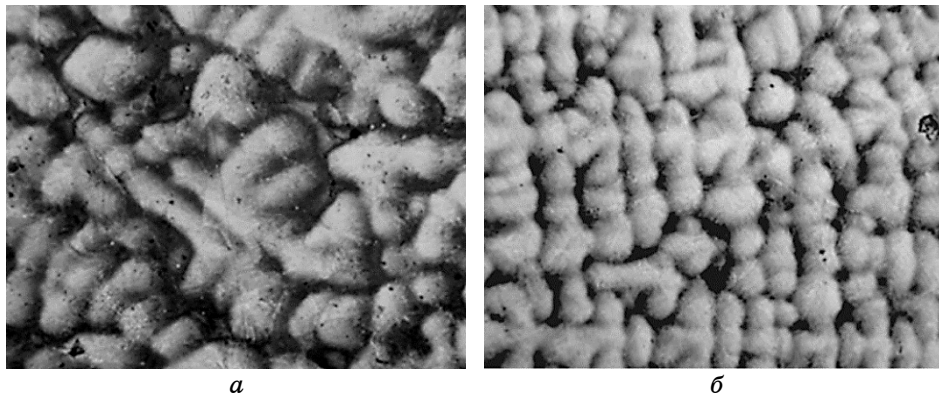


Рис. 4. Ділянки з сегрегацією Силіцію та Мангану, які формуються під час кристалізації та розташовані у міждендритних просторах; цвплення пікратом Натрію: криця № 1 (а), криця № 2 (б), $\times 100$.

Fig. 4. Areas with segregation of silicon and manganese, which are formed during crystallization and located in the interdendritic spaces; etching with sodium picrate: steel No. 1 (a), steel No. 2 (б), $\times 100$.

розмір дендритів — 8–14 мкм) (рис. 4).

Дендрити криці № 1 мали осі першого та розвинені осі другого порядку, а дендрити криці № 2 — в більшій кількості осі першого порядку та слабо розвинені осі другого порядку. Дослідження міждендритної відстані дослідних зразків показали, що міждендритна відстань у криці № 1 буде більшою, ніж у криці № 2 (рис. 4).

За інтенсивністю забарвлення видно, що мікролегування Титаном зменшує мікросегрегацію Мангану й Силіцію та їхній вміст у

міждендритному просторі, що надає пояснення стосовно утворення більшої кількості включень, які містять Манган і Силіцій.

Параметри тонкої кристалічної будови дослідних зразків (ступінь тетрагональності кристалічної ґратниці, густина дислокацій, розмір областей когерентного розсіяння, величина викривлень кристалічної ґратниці другого роду) у стані після ГПД та ТО визначено з використанням методики рентгенівської структурної аналізи. Мікролегування криці № 1 Титаном приводить до зменшення викривлень другого роду та густини дислокацій (табл. 2), що свідчить про зменшення дефектності структури [12].

На рисунку 5 представлено мікроструктуру після повного циклу деформаційно-термічного оброблення. Мікроструктура криці № 2 мала більш дрібнодисперсну структуру, — менший розмір зерен, рівномірний розподіл включень і ділянок мікросегрегації, — у порівнянні з крицею № 1.

Дослідження механічних властивостей криць показали, що для

ТАБЛИЦЯ 2. Параметри кристалічної будови досліджуваних зразків.

TABLE 2. Parameters of the crystal structure of the studied samples.

Маркування	Параметер ґратниці a , Å	Розмір блоків мозаїки L , Å	Викривлення другого роду M , %	Густина дислокацій (110) D , см^{-1}	Густина дислокацій (220) D , см^{-1}
Криця № 1	2,8642	1871	$1,25 \cdot 10^{-3}$	$4,93 \cdot 10^{10}$	$36,5 \cdot 10^{10}$
Криця № 2	2,8645	1875	$0,85 \cdot 10^{-3}$	$4,82 \cdot 10^{10}$	$22,9 \cdot 10^{10}$

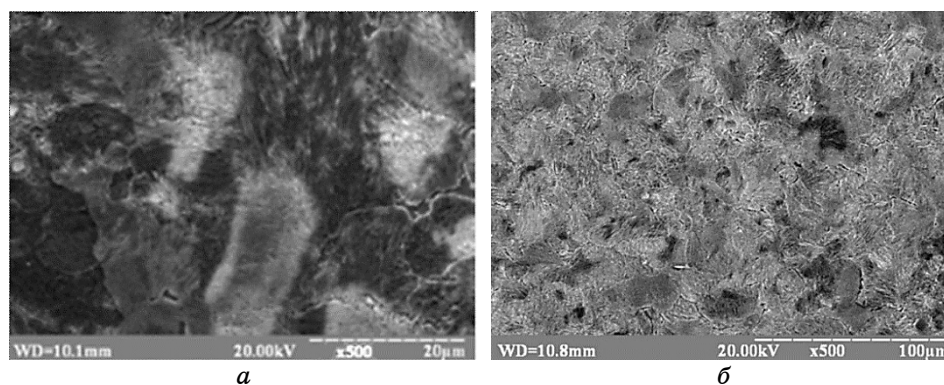


Рис. 5. Мікроструктура криць після повного циклу деформаційного й термічного оброблення: криця № 1 (а), криця № 2 (б).

Fig. 5. Microstructure of steels after a full cycle of deformation and heat treatment: steel No. 1 (a), steel No. 2 (b).

ТАБЛИЦЯ 3. Механічні властивості зливків криці дослідного складу після гарячої пластичної деформації та наступного термічного оброблення.

TABLE 3. Mechanical properties of steel ingots of experimental composition after hot plastic deformation and subsequent heat treatment.

Маркування	σ_b , Н/мм ²	$\sigma_{0,2}$, Н/мм ²	Відносне видовження δ , %	Відносне звуження ψ , %
Криця № 1	1094,4	636,6	14,2	36,51
Криця № 2	1120,4	665,0	12,6	21,2

криці № 2 границі міцності та плинності мають вищі показники, а відносне видовження та звуження мають більші значення для криці № 1 (табл. 3), що пояснюється особливостями структури за мікролегування Титаном.

Таким чином, мікролегування Титаном приводить до збільшення дисперсності структурних складових, збільшення кількості видів дрібнодисперсних включень, більш рівномірного розподілу ділянок мікросегрегації Карбону, Мангану та Силіцію.

4. ВИСНОВКИ

1. Встановлено, що мікролегування криці Титаном приводить до: збільшення кількості видів включень, — $Fe_{2,7}Mn_{0,3}C$, $Fe_{0,4}Mn_{3,6}C$, $FeSiC$, Mn_7C_3 , TiC , — та їхньої дисперсності за рахунок зменшення розчинності Мангану та Силіцію в структурних складових; утворення більш однорідних за розміром дендритів твердого розчину γ -заліза та зменшення ділянок мікросегрегації Карбону, Мангану та Силіцію; зменшення викривлень другого роду та густини дислокацій у порівнянні з показниками криці, яку не мікролеговано Титаном.

2. Встановлено, що мікролегування криці Титаном сприяє: зменшенню розмірів зерен, більш рівномірному розподілу включень, збільшенню границі міцності та плинності на $\cong 10\%$ після деформаційно-термічного оброблення, — гарячого пластичного деформування після нагрівання до температури у $1260 \pm 10^\circ C$ зі ступенем деформації у $\cong 50\%$ та подальшого нагрівання до температури у $900 \pm 10^\circ C$ й охолодження зі швидкістю у $2,5^\circ C/s$, відпуску за температури у $300 \pm 10^\circ C$ тривалістю в 1 годину, — у порівнянні з крицею без мікролегування Титаном.

ЦИТОВАНА ЛІТЕРАТУРА

1. S. J. Chen, L. J. Li, Z. W. Peng, X. D. Huo, and H. B. Sun, *J. Mater. Res. Tech-*

- nol.*, **10**: 580 (2021).
2. S. Wang, Z. Gao, G. Wu, and X. Mao, *Int. J. Miner. Metall. Mater.*, **29**: 645 (2022).
 3. S. Li, H. Yu, Y. Lu, J. Lu, W. Wang, and S. Yang, *Wear*, **474–475**: 203647 (2021).
 4. N. Yu. Filonenko, O. I. Babachenko, H. A. Kononenko, and O. A. Safronova, *Mater. Sci.*, **58**: 190 (2022).
 5. H. S. El-Faramawy, S. N. Ghali, and M. M. Eissa, *J. Miner. Mater. Char. Eng.*, **11**: 1108 (2012).
 6. Q. Ren, T. Liu, S. Baik, Z. Mao, B. W. Krakauer, and D. N. Seidman, *J. Mater. Sci.*, **56**: 6448 (2021).
 7. Z. Zhu, Y. Liang, and J. Zou, *Materials*, **13**, Iss. 23: 5316 (2020).
 8. Н. Ю. Філоненко, О. І. Бабаченко, Г. А. Кононенко, *Метал і лиття України*, **30**, № 3: 81 (2022).
 9. N. Yu. Filonenko, O. I. Babachenko, H. A. Kononenko, and A. S. Baskevich, *East Eur. J. Phys*, No. 4: 120 (2021).
 10. О. А. Банньких, М. Е. Дрица, *Диаграммы состояния двойных и многокомпонентных систем на основе железа* (Москва: Металлургия: 1986).
 11. О. І. Бабаченко, Г. А. Кононенко, Р. В. Подольський, О. А. Сафронова, А. О. Тараненко, *Металофіз. новітні технол.*, **44**, № 12: 1661 (2022).
 12. О. І. Бабаченко, Г. А. Кононенко, Р. В. Подольський, О. А. Сафронова, О. С. Баскевіч, *Металофіз. новітні технол.*, **45**, № 1: 137 (2023).

REFERENCES

1. S. J. Chen, L. J. Li, Z. W. Peng, X. D. Huo, and H. B. Sun, *J. Mater. Res. Technol.*, **10**: 580 (2021).
2. S. Wang, Z. Gao, G. Wu, and X. Mao, *Int. J. Miner. Metall. Mater.*, **29**: 645 (2022).
3. S. Li, H. Yu, Y. Lu, J. Lu, W. Wang, and S. Yang, *Wear*, **474–475**: 203647 (2021).
4. N. Yu. Filonenko, O. I. Babachenko, H. A. Kononenko, and O. A. Safronova, *Mater. Sci.*, **58**: 190 (2022).
5. H. S. El-Faramawy, S. N. Ghali, and M. M. Eissa, *J. Miner. Mater. Char. Eng.*, **11**: 1108 (2012).
6. Q. Ren, T. Liu, S. Baik, Z. Mao, B. W. Krakauer, and D. N. Seidman, *J. Mater. Sci.*, **56**: 6448 (2021).
7. Z. Zhu, Y. Liang, and J. Zou, *Materials*, **13**, Iss. 23: 5316 (2020).
8. N. Yu. Filonenko, O. I. Babachenko, and H. A. Kononenko, *Metal i Lyttya Ukrayiny*, **30**, No. 3: 81 (2022) (in Ukrainian).
9. N. Yu. Filonenko, O. I. Babachenko, H. A. Kononenko, and A. S. Baskevich, *East Eur. J. Phys*, No. 4: 120 (2021).
10. O. A. Bannykh and M. E. Dritsa, *Diagrammy Sostoyaniya Dvoynykh i Mnogokomponentnykh Sistem na Osnove Zheleza* [State Diagrams of Binary and Multicomponent Iron-Based Systems] (Moskva: Metallurgiya: 1986) (in Russian).
11. O. I. Babachenko, G. A. Kononenko, R. V. Podolskyi, O. A. Safronova, and A. O. Taranenko, *Metallofiz. Noveishie Tekhnol.*, **44**, No. 12: 1661 (2022) (in Ukrainian).
12. O. I. Babachenko, G. A. Kononenko, R. V. Podolskyi, O. A. Safronova, and O. S. Baskevich, *Metallofiz. Noveishie Tekhnol.*, **45**, No. 1: 137 (2023) (in Ukrainian).